

Письма в ЖТФ, том 17, вып. 10

26 мая 1991 г.

02; 11

© 1991

ИЗМЕНЕНИЕ СОСТОЯНИЯ ПОЛЯРИЗАЦИИ
РЕНТГЕНОВСКОГО ИЗЛУЧЕНИЯ
ПРИ ПОВЕРХНОСТНОЙ ДИФРАКЦИИ

А.А. А н д р и я н ч и к, В.Г. Б а р ы ш е в с к и й,
И.Я. Д у б о в с к а я, А.Н. К а м и н с к и й

Схема рентгеновской поверхностной дифракции (ПД) (или дифракции в скользящей геометрии) впервые была предложена в [1]. В последнее время выяснены уникальные возможности такой геометрии дифракции для исследования приповерхностной структуры кристаллов (см., например, обзор [2] и цитируемую в нем литературу). В настоящей работе показано, что в условиях ПД происходит преобразование пинейной поляризации рентгеновских квантов в циркулярную поляризацию. Найдены зависимости параметров эллипсов поляризации зеркально отраженной и дифрагированной в вакуум волн от соответствующих параметров для падающей волны с произвольной поляризацией.

Пусть на полубесконечный кристалл под небольшим углом θ к его поверхности падает плоская волна единичной амплитуды с волновым вектором $\vec{k}_o e^{i(\vec{k}_o \vec{r} - \omega t)}$. Произвольную эллиптическую поляризацию падающей волны $\vec{e}_o e^{i(\vec{k}_o \vec{r} - \omega t)}$ можно записать в виде суперпозиции волн с круговыми поляризациями $\vec{e}_o = \rho_+ \vec{e}_+ + \rho_- \vec{e}_-$. Амплитуды составляющих падающей волны правой и левой круговой поляризации ρ_{\pm} выражаются через параметры эллипса поляризации следующим образом:

$$\rho_{\pm} = \frac{1}{\sqrt{2}} (a \mp b) e^{\pm i\psi_o}, \quad (1)$$

где a и b - полуоси эллипса, ψ_o - угол между полуосью a и

плоскостью кристалла. Введем параметр δ_0 , равный отношению меньшей полуоси к большей, и выразим через него степень круговой поляризации γ_0 , определяемую через интенсивности право- и левополяризованных составляющих поля волны соотношением

$$\gamma_0 = \frac{|\rho_+|^2 - |\rho_-|^2}{|\rho_+|^2 + |\rho_-|^2} = \frac{2\delta_0}{1 + \delta_0^2}. \quad (2)$$

При $\gamma_0 = \pm 1$ падающая волна имеет соответственно правую и левую круговые поляризации, при $\gamma_0 = 0$ – линейную.

Рассмотрим для конкретности случай, когда один из векторов обратной решетки $2\vec{x}\tau$ кристалла параллелен его поверхности с точностью до угла порядка $|\chi_0|^{1/2}$, где χ_0 – диэлектрическая восприимчивость среды. При малых углах падения, кроме зеркально отраженной волны в вакууме, необходимо учитывать и дифрагированную волну, амплитуда которой при выполнении условия Вульфа-Брэгга сравнима с амплитудой зеркально отраженной. Вследствие линейности уравнений Максвелла для нахождения полей прошедших, дифрагированных и отраженных волн достаточно решить задачу для двух собственных линейных поляризаций \vec{e}_x и \vec{e}_y падающей волны ($\vec{e}_y \parallel \vec{e}_{\text{sc}} \parallel [kk_t]$, $\vec{e}_x \parallel [k\vec{e}_y]$, $\vec{e}_{\text{sc}} \perp [k_z \vec{e}_{\text{sc}}]$). Согласно [1], при падении на поверхность кристалла волны с одной из собственных поляризаций, поле в вакууме записывается в виде

$$\vec{E}_s^{(o)}(\vec{r}) = \vec{e}_s e^{ik_o z} + \vec{A}_s e^{ik'_o z} + \vec{B}_s e^{ik_t z}, \quad (3)$$

где \vec{A}, \vec{B} – комплексные векторные амплитуды полей зеркально отраженной и дифрагированной волн, $k_o = (k_{ot}, k_{oz})$, $k'_o = (k_{ot}, -k_{oz})$, $k_t = (k_{ot} + 2\vec{x}\tau, \sqrt{k_o^2 - k_{zt}^2})$, ось z перпендикулярна к поверхности кристалла и направлена вглубь среды, индекс t обозначает тангенциальную составляющую вектора, $s = x, y$.

Поле зеркально отраженной и дифрагированной волн можно представить также в виде суммы составляющих с правой и левой круговыми поляризациями $\vec{A} = \vec{A}_+ + \vec{A}_-$, $\vec{B} = \vec{B}_+ + \vec{B}_-$, где амплитуды A_{\pm} и B_{\pm} имеют вид:

$$A_{\pm} = \frac{1}{2} [A_s(\rho_+ + \rho_-) \pm A_x(\rho_+ - \rho_-)], \quad B_{\pm} = \frac{1}{2} [B_s(\rho_+ + \rho_-) \pm B_x(\rho_+ - \rho_-)] \quad (4)$$

(явные выражения для $A_{x,s}$ и $B_{x,s}$ найдены в [1]). Раскладывая поле на σ - и π -составляющие, находим уравнение связи параметров эллипса поляризации δ_0 и ψ_0 падающей волны с аналогичными характеристиками δ_A и ψ_A зеркально отраженной

$$\delta_A = \frac{1}{2} \left(-x \pm \sqrt{x^2 - 4} \right), \quad |s_A| \leq 1, \quad (5)$$

$$\psi_A = \arctg \left(-\frac{1 + \delta_A \operatorname{Im} y}{\operatorname{Re} y} \right),$$

$$\text{где } x = \frac{1 + |y|^2}{Im y}, \quad y = \frac{A_\delta}{A_\pi} \cdot \frac{\delta_0 t g \psi_0 - i}{\delta_0 + i t g \psi_0}.$$

Степень круговой поляризации этой волны есть $\gamma_A = 2\delta_A / (1 + \delta_A^2)$. Выражения для δ_B и ψ_B получаются из (5) заменой A на B .

Будем далее рассматривать изменение состояния поляризации при ПД для линейно поляризованной падающей волны, т.е. положим $\psi_0 = 0$. В общем случае произвольного ψ_0 отраженные волны будут иметь, как следует из (5), эллиптическую поляризацию, параметры которой определяются величиной ψ_0 и отношением A_π / A_δ для зеркальной волны и B_π / B_δ для дифрагированной. Изменение состояния поляризации отраженных волн связано, таким образом, с различием фаз и амплитуд σ - и π -волн. Вдали от критических углов отражения $A_\pi \approx A_\delta$ и зеркально отраженная волна будет повторять поляризацию падающей, поляризация дифрагированной волны также при этом стремится к линейной, но за счет различия амплитуд рассеяния для σ - и π -волн изменяет угол наклона по закону $t g \psi_B \approx \cos 2\psi_{BR} \cdot t g \psi$, где ψ_{BR} — угол Брэгга, т.е. происходит вращение плоскости поляризации падающей волны. В области критических углов отражения волны в среде становятся неоднородными, экспоненциально затухающими вглубь среды, причем $Im k_x > Re k_x$ даже при отсутствии собственного поглощения в кристалле. Как следствие, в этих точках фазы прошедших и дифрагированных волн испытывают резкие скачки. При этом отраженные волны могут приобретать достаточно большую степень круговой поляризации с одновременным поворотом большей полуоси эллипса относительно ориентации линейнополяризованной падающей волны.

В качестве примера рассмотрим дифракцию CuK_α -излучения ($\lambda = 1.54 \text{ \AA}$) на плоскостях (220) кристалла германия. Пусть падающее излучение поляризовано линейно. Максимальную степень круговой поляризации отраженная волна будет приобретать при ориентации плоскости поляризации падающей волны под углом, обеспечивающим примерно одинаковую эффективность возбуждения σ - и π -составляющих. На рис. 1 и 2 приведены зависимости характеристик отраженных в вакуум волн при $\psi_0 = 0.7$ рад. Максимальная степень круговой поляризации отраженных в вакуум волн ($\gamma \approx 0.5$) соответствуют двум критическим углам отражения $\theta \approx 4$ и $\theta \approx 7$ мрад (рис. 1). В этих точках большие полуоси эллипсов поляризации отраженных волн поворачиваются относительно направления поляризации падающей волны на углы порядка 15° . Вдали от критических углов отражения поляризация зеркальной волны совпадает с поляризацией падающей, а плоскость поляризации дифрагированной волны поворачивается в сторону σ -плоскости на угол порядка 0.2 рад.

На рис. 2 представлены соответствующие зависимости от параметра $\alpha = [2k_{\sigma t} \cdot 2\pi t + (2\pi t)^2] / k_0^2$, характеризующего отклонение от точного выполнения условия Брэгга, при угле падения рентгеновских квантов, близком к одному из критических углов отражения

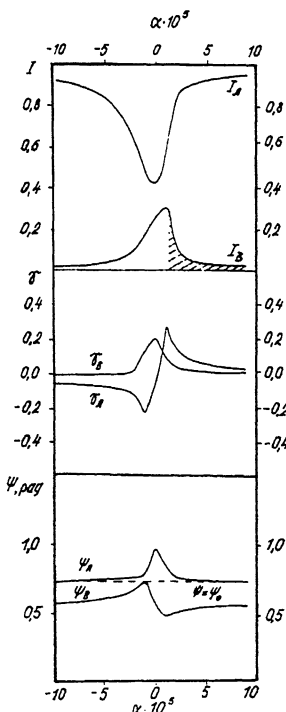
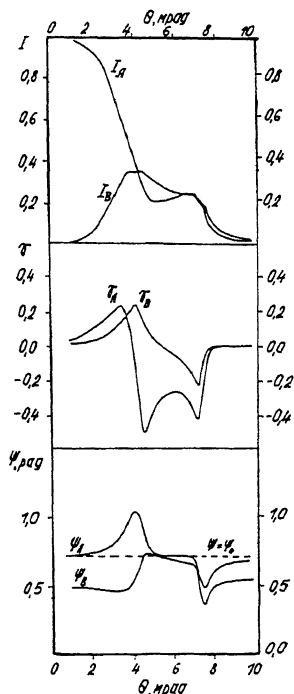


Рис. 1. Зависимость интенсивностей I и параметров поляризации γ и ψ зеркально отраженной (с индексом А) и дифрагированной (с индексом В) волн от угла падения θ при $\alpha = 6 \cdot 10^{-6}$. θ — угол между k_0 и поверхностью кристалла.

Рис. 2. Зависимость интенсивностей I и параметров поляризации γ и ψ зеркально отраженной (с индексом А) и дифрагированной (с индексом В) волн от параметра дифракции α при угле падения $\theta = 3.5$ мрад.

($\theta = 3.5$ мрад). Максимальная степень круговой поляризации волн в этом направлении соответствует области выполнения условия Вульфа-Брэгга $|\alpha| \leq |\chi_0|$ (в нашем случае для $\lambda = 1.54 \text{ \AA}$ $\chi_0 \approx -3 \cdot 10^{-5} + i 9 \cdot 10^{-7}$). Зеркальная волна в условиях полного внешнего отражения изменяет направление вращения вектора поля при переходе через точку $\alpha = 0$. Отметим, что при выполнении условия $\alpha > k_{0x}^2/k_0^2$, дифрагированная волна становится поверхностной [3]. Области возбуждения поверхностной дифрагированной волны на рис. 2 заштрихованы.

Таким образом, сильная пространственная анизотропия кристалла вблизи точного выполнения условия Вульфа-Брэгга и наличие двух критических углов отражения приводят к скачкам фаз амплитуд зеркальной и дифрагированной отраженных волн при ПД. Это

приводит к резкому изменению степени круговой поляризации этих волн и повороту плоскости поляризации. Соответствующие поляризационные характеристики γ и ψ оказываются весьма чувствительными к углу падения излучения на поверхность кристалла вблизи критических углов отражения и к расстройке параметра дифракции α от точного выполнения условия Вульфа-Брэгга, что может служить дополнительным каналом для исследования приповерхностной структуры кристаллов, а также анализа и изменения состояния поляризации рентгеновского излучения. Существуют такие направления дифракции, при которых падающий линейно поляризованный пучок рентгеновских квантов может приобретать в процессе отражения достаточно большую степень круговой поляризации.

С п и с о к п и т е р а т у р ы

- [1] Б а р ы ш е в с к и й В.Г. // Письма в ЖТФ. 1976. Т. 2. В. 3. С. 112-115.
- [2] А н д р е е в А.В. // УФН. 1985. Т. 145. В. 1. С. 113-136.
- [3] А н д р е е в А.В., К о в ъ е в Э.К., М а т в е е в Ю.А., П о н о м а р е в Ю.В. // Письма в ЖЭТФ. 1982. Т. 35. С. 412-415.

Поступило в Редакцию
23 марта 1991 г.